

# Regularisierung ebener $n$ -Ecke

**Otto Röschel, Institut für Geometrie  
Nawi Graz, TU Graz**

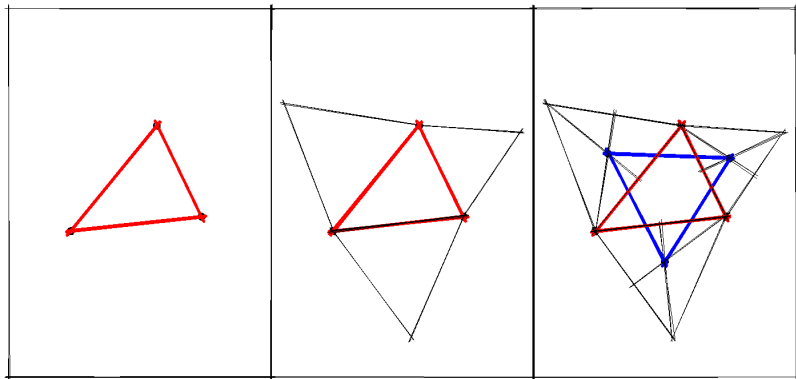
42. Fortbildungstagung für Geometrie  
Strobl, 9. November 2023

# Überblick

1. Ein kleiner Vorgeschmack - der Satz von Napoleon und Varianten
2. Reguläre  $n$ -Ecke
3. Regularisierende Prozeduren
4. Die Darstellung der Prozeduren in  $\mathbb{C}^n$
5. Regularisierungen - Schritt für Schritt
6. Eine affine Verkürzung

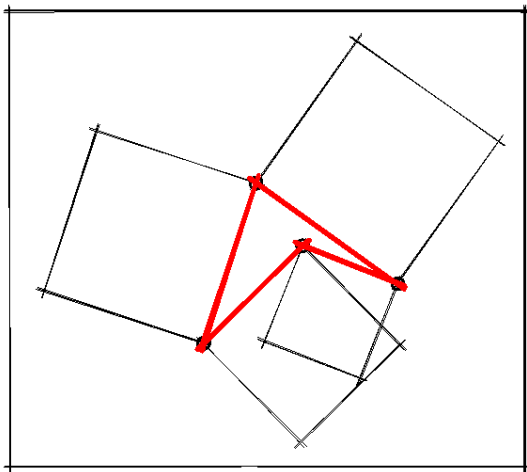
# Wir skizzieren

Start mit Dreieck und gleichseitige Aufsatzdreiecke

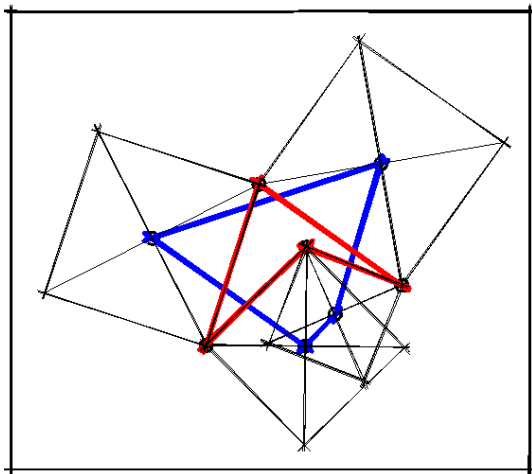


Das resultierende Dreieck scheint gleichseitig zu sein (?)

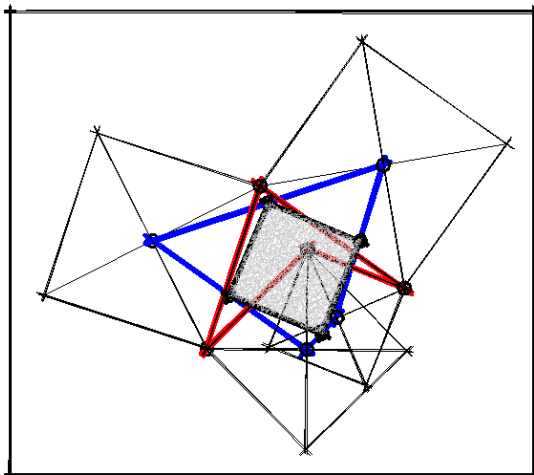
# Start mit Viereck und Aufsatzquadraten



# Start mit Viereck und Aufsatzquadraten

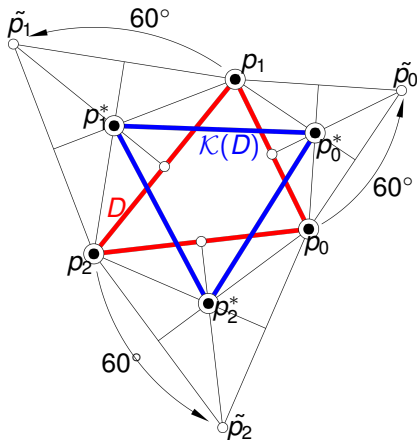


## Start mit Viereck und Aufsatzquadraten

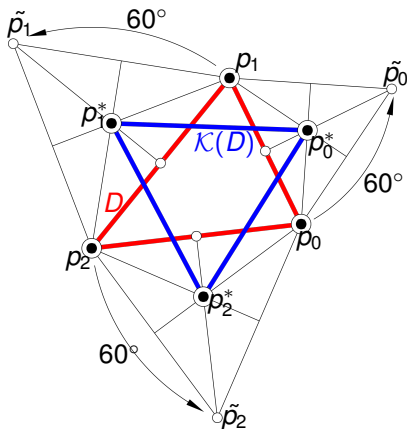


Das resultierende Viereck scheint ein Quadrat zu sein (?)

# 1. Ein kleiner Vorgeschmack (Satz von Napoleon und Varianten)



- **Geg.:** Dreieck  
 $D := (p_0, p_1, p_2)$
- **Konstruktion  $\mathcal{K}$ :** Drehe  $p_0$  um  $p_1$  (im mathematisch positiven Sinn) um 60 Grad  $\rightarrow \tilde{p}_0$ .
- $p_0^* \dots$  Mitte des 'Aufsatzdreiecks'  $p_0, p_1, \tilde{p}_0$
- Analog für  $p_1$  und  $p_2 \rightarrow$  Mitten  $p_1^*$  bzw.  $p_2^* \rightarrow$  das nach Konstruktion  $\mathcal{K}$  aus  $D$  konstruierte Dreieck  
 $\mathcal{K}(D) := (p_0^*, p_1^*, p_2^*)$

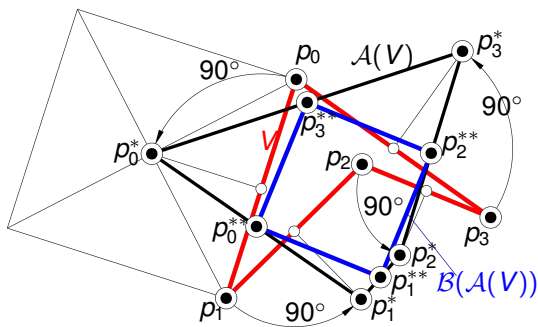


- *Konstruktion  $\mathcal{K}'$* : Wie  $\mathcal{K}$ , aber Drehungen um  $-60^\circ \rightarrow \mathcal{K}'(D)$
- Experimente  $\rightarrow \mathcal{K}(D)$  und  $\mathcal{K}'(D)$  sehen 'sehr nach gleichseitigen Dreiecken' aus.
- *Satz von Napoleon*, aber Urhebererschaft unklar - siehe  Fritz SCHMIDT: 200 Jahre französische Revolution - Problem und Satz von Napoleon mit Variationen. *Didaktik der Mathematik* 18 (1990), 15 -29.

## Satz von Napoleon

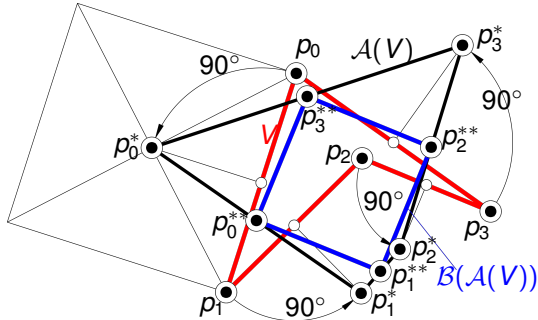
Unabhängig vom gewählten Ausgangsdreieck  $D$  sind sowohl  $\mathcal{K}(D)$  als auch  $\mathcal{K}'(D)$  stets gleichseitige Dreiecke. Einzige Ausnahme:  $D$  gleichseitig - dann degeneriert  $\mathcal{K}(D)$  oder  $\mathcal{K}'(D)$  in den Mittelpunkt von  $D$ .

# Ein weiterer Vorgeschmack - Vierecke



- **Geg.:** Viereck  $V := (p_0, p_1, p_2, p_3)$
- Wie vorhin Konstruktionen anwenden - diesmal allerdings in zwei Schritten  $\mathcal{A}$  und  $\mathcal{B}$ :

- **Konstruktion  $\mathcal{A}$ :** Auf Seiten von  $V$  Quadrate aufsetzen und deren Mittelpunkte als Neupunkte  $p_j^*$  verwenden. (gleichwertig: drehe  $p_j$  um den Mittelpunkt der Seite  $p_j p_{j+1}$  um  $90^\circ \rightarrow p_j^*$ )
- $\rightarrow \mathcal{A}(V) := (p_0^*, p_1^*, p_2^*, p_3^*) \dots$  I.A. kein Quadrat!
- **Variante Konstruktion  $\mathcal{A}'$ :** Wie  $\mathcal{A}$ , bloss Drehungen um  $-90^\circ$



- **Konstruktion  $\mathcal{B}$ :**  
 Das Viereck  $V = (p_0, p_1, p_2, p_3)$  geht in das Viereck seiner Seitenmitten  $\mathcal{B}(V) := (p_0^*, p_1^*, p_2^*, p_3^*)$  über ( $p_j^*$  ist Mitte der Seite  $p_j p_{j+1}$ )

- Nun Zusammensetzung:  $\mathcal{B}$  auf  $\mathcal{A}(V)$  anwenden  $\longrightarrow$   
 $\mathcal{B}(\mathcal{A}(V)) = (p_0^{**}, p_1^{**}, p_2^{**}, p_3^{**})$ . Wieder: Sieht nach Quadrat aus?



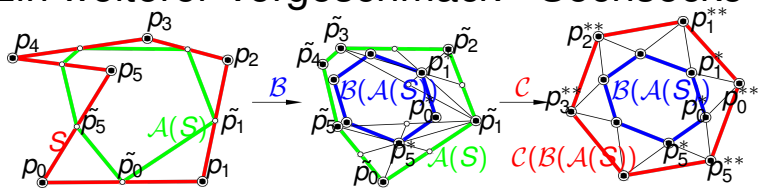
Fritz SCHMIDT: 200 Jahre französische Revolution - Problem und Satz von Napoleon mit Variationen. *Didaktik der Mathematik* 18 (1990), 15 -29.

## Regularisierung von Vierecken

Das Viereck  $\mathcal{B}(\mathcal{A}(V)) = (p_0^{**}, p_1^{**}, p_2^{**}, p_3^{**})$  ist bei allgemeinem Startviereck  $V$  ein Quadrat.



# Ein weiterer Vorgeschmack - Sechsecke



- **Konstruktionsschritt A:** Sechseck  $S = (p_0, \dots, p_5) \longrightarrow$  Sechseck  $A(S) = (\tilde{p}_0, \dots, \tilde{p}_5)$  seiner Kantenmittelpunkte
- **Konstruktionsschritt B:** Die Schwerpunkte je dreier aufeinanderfolgender Ecken bilden die Ecken des Bildsechsecks  $\longrightarrow B(A(S)) = (p_0^*, \dots, p_5^*)$
- **Konstruktionsschritt C (bzw. C'):** Auf die Seiten des Sechsecks werden konsequent 'nach aussen' (bzw. bei C' nach innen) gleichseitige Dreiecke aufgesetzt. Die neuen Spitzen bilden die Ecken des Bildsechsecks
- **Insgesamt:**  $C(B(A(S))) = (p_0^{**}, \dots, p_5^{**})$  ist i. A. **regulär** (Beweis?).

## Bemerkungen:

- Beweise einzeln durch Nachrechnen leicht möglich - siehe zB Mathe-Brief Nr. 103 der OeMG  
<https://www.oemg.ac.at/Mathe-Brief/>



Österreichische  
Mathematische  
Gesellschaft

## Fragen

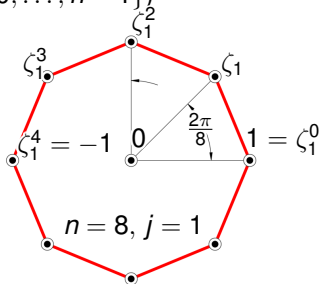
- *Ist Analoges für ebene  $n$ -Ecke möglich?*
- *Gibt es eine 'guten' mathematischen Zugang?*
-  Isaac Jacob SCHOENBERG: The finite Fourier series and elementary geometry. *Amer. Math. Monthly* 57 (1950), 390 - 404.
-  Pavel PECH: The Harmonic Analysis of Polygons and Napoleon's Theorem. *Journal for Geometry and Graphics* 5/1 (2001), 13-22.
- Varianten: Diplomarbeit S. KROTTMAIER (in Arbeit) sowie O.R.  
 → Das ist auch für ebene  $n$ -Ecke möglich!

## 2. Reguläre $n$ -Ecke

- Euklidische Ebene als GAUSSsche Zahlenebene deuten:  
 $\mathbb{R}^2 \cong \mathbb{C}$
- $n$ -Eck mit Ecken  $p_0, p_1, \dots, p_{n-1}$  ist dann ein Vektor  
 $P := (p_0, p_1, \dots, p_{n-1})^t \in \mathbb{C}^n$
- Reguläre ebene  $n$ -Ecke: Idee: Verwende die Lösungen der Gleichung  $z^n = 1$  mit  $z \in \mathbb{C} \rightarrow$  Lösungen sind die  **$n$ -ten Einheitswurzeln**

$$\zeta_j := \exp(i \frac{2j\pi}{n}) = \cos \frac{2j\pi}{n} + i \sin \frac{2j\pi}{n} \quad (j \in \{0, \dots, n-1\})$$

- $\zeta_j$  ist komplexe Zahl mit Betrag 1 und Argument  $\frac{2j\pi}{n} \rightarrow$  beschreibt Punkt am Einheitskreis
- Potenzen von  $\zeta_j$ : Der Punkt  $\zeta_j$  wird um den Punkt 0 um Vielfache des Winkels  $\frac{2j\pi}{n}$  nachgedreht  $\rightarrow$

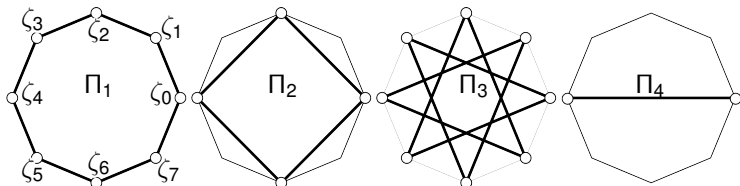


- Das  $n$ -Eck

$$\Pi_j := (\zeta_j^0, \dots, \zeta_j^{n-1})^t \in \mathbb{C}^n, j \in \{0, \dots, n-1\}. \quad (1)$$

kann als **reguläres  $n$ -Eck** gesehen werden. Allerdings: Typ von gewähltem  $j$  abhängig!

- Daher Definition:  $\Pi_j$  sei der '**Prototyp des regulären  $n$ -Ecks  $j$ -ter Art**' bzw. '**des Typs**'  $j$ . Einige Prototypen für  $n = 8$ :



$$\begin{aligned} \Pi_0 &= (1, 1, 1, 1, 1, 1, 1, 1)^t \\ \Pi_1 &= (1, \frac{(1+i)\sqrt{2}}{2}, i, \frac{(-1+i)\sqrt{2}}{2}, -1, -\frac{(1+i)\sqrt{2}}{2}, -i, \frac{(1-i)\sqrt{2}}{2})^t \\ \Pi_2 &= (1, i, -1, -i, 1, i, -1, -i)^t \\ \Pi_3 &= (1, \frac{(-1+i)\sqrt{2}}{2}, -i, \frac{(1+i)\sqrt{2}}{2}, -1, \frac{(1-i)\sqrt{2}}{2}, i, -\frac{(1+i)\sqrt{2}}{2})^t \\ \Pi_4 &= (1, -1, 1, -1, 1, -1, 1, -1)^t \end{aligned}$$

## Bemerkungen:

- Prototyp  $\Pi_{n-j}$  des Typs  $n-j$  ist Spiegelung von  $\Pi_j$  an der reellen Achse  $y = 0 \rightarrow$  nur anderer Durchlaufsinne durch das  $n$ -Eck  $\rightarrow$
- **Definition:** Die zum Prototyp  $\Pi_j$  ( $j = 0, \dots, n-1$ ) ähnlichen ebenen  $n$ -Ecke heißen **reguläre  $n$ -Ecke  $j$ -ter Art**.
- Bezüglich der gleichsinnigen Ähnlichkeiten (Schiebungen und Drehstreckungen) der euklidischen Ebene gibt es genau  $n$  verschiedene Typen regulärer  $n$ -Ecke.
- Prototypen (gleichsinnig):

$$\Pi_0, \dots, \Pi_{n-1}$$

- $\rightarrow$  Alle regulären  $n$ -Ecke vom Typ  $j$  werden beschrieben durch

$$P = a\Pi_0 + b\Pi_j \text{ mit } a, b \in \mathbb{C}, b \neq 0.$$

- Zusätzlich gilt: Die Vektoren  $\{\Pi_0, \dots, \Pi_{n-1}\}$  bilden eine **Basis** des  $\mathbb{C}^n$ !
- Bezüglich der ungleichsinnigen Ähnlichkeiten sind  $\Pi_j$  und  $\Pi_{n-j}$  äquivalent  $\rightarrow$  Prototypen (ungleichsinnig):

$$\Pi_0, \dots, \Pi_{\lfloor n/2 \rfloor}$$

## Definition 'Regularisierung'

Eine Serie von Konstruktionsvorschriften, die allgemeine  $n$ -Ecke in reguläre  $n$ -Ecke (gewissen Typs  $j$ ) transformiert, heißt **regularisierende Konstruktionsvorschrift** (zum Typ  $j$ ).

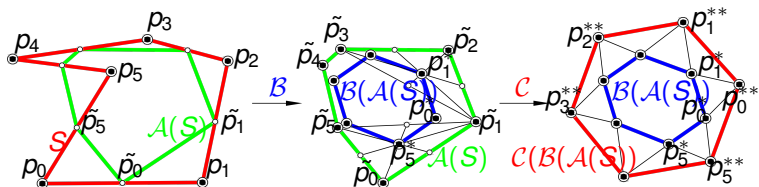
- Ziel  $n$ -Eck regulär vom Typ  $j$  beschrieben durch

$$P = a\Pi_0 + b\Pi_j \text{ mit } a, b \in \mathbb{C}, b \neq 0.$$

- **Euklidische Regularisierung:** Konstruktionen innerhalb der Euklidischen Ähnlichkeiten
- **Affine Regularisierung:** Affine Konstruktionen

### 3. Regularisierende Prozeduren

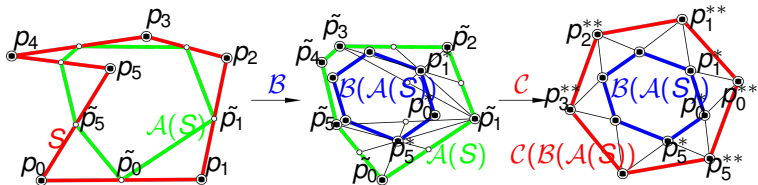
- Die vorgestellte Regularisierung der Sechsecke nun in der GAUSSschen Zahlenebene  $\mathbb{C}$ :



- Konstruktionsschritt A:** Sechseck  $S = (p_0, \dots, p_5) \longrightarrow$  Sechseck seiner Kantenmittelpunkte

$$p_j \longrightarrow \tilde{p}_j := \frac{p_j + p_{j+1}}{2}$$

$$\longrightarrow \mathcal{A}(S) = (\tilde{p}_0, \dots, \tilde{p}_5)$$



- **Konstruktionsschritt B:** Die Schwerpunkte je dreier aufeinanderfolgender Ecken bilden die Ecken des Bildsechsecks

$$\tilde{p}_j \longrightarrow p_j^* := \frac{\tilde{p}_j + \tilde{p}_{j+1} + \tilde{p}_{j+2}}{3}$$

$$\longrightarrow B(A(S)) = (p_0^*, \dots, p_5^*)$$

- **Konstruktionsschritt C (bzw. C')**: Auf die Seiten des Sechsecks werden konsequent 'nach aussen' (bzw. bei C' nach innen) gleichseitige Dreiecke aufgesetzt. Die neuen Spitzen bilden die Ecken des Bildsechsecks

$$p_j^* \longrightarrow p_j^{**} := p_{j+1}^* + \frac{1 + i\sqrt{3}}{2}(p_j^* - p_{j+1}^*) = \frac{1 + i\sqrt{3}}{2}p_j^* + \frac{1 - i\sqrt{3}}{2}p_{j+1}^*$$

Insgesamt haben wir daher:

- **Konstruktionsschritt  $\mathcal{A}$ :**

$$p_j \longrightarrow \tilde{p}_j := \frac{p_j + p_{j+1}}{2}$$

- **Konstruktionsschritt  $\mathcal{B}$ :**

$$\tilde{p}_j \longrightarrow p_j^* := \frac{\tilde{p}_j + \tilde{p}_{j+1} + \tilde{p}_{j+2}}{3}$$

- **Konstruktionsschritt  $\mathcal{C}$ :**

$$p_j^* \longrightarrow p_j^{**} := p_{j+1}^* + \frac{1 + i\sqrt{3}}{2}(p_j^* - p_{j+1}^*) = \frac{1 + i\sqrt{3}}{2}p_j^* + \frac{1 - i\sqrt{3}}{2}p_{j+1}^*$$

- Auch die Konstruktionen bei Dreieck und Viereck haben ähnliche Darstellungen  $\longrightarrow$

Die vorgestellten Regularisierungsschritte haben in  $\mathbb{C}$  alle die Gestalt

$$p_j \longrightarrow p_j^* := u p_j + v p_{j+1} + w p_{j+2}$$

mit  $u, v, w \in \mathbb{C}$  und  $u + v + w = 1!$

- Affine Konstruktionsschritte:**

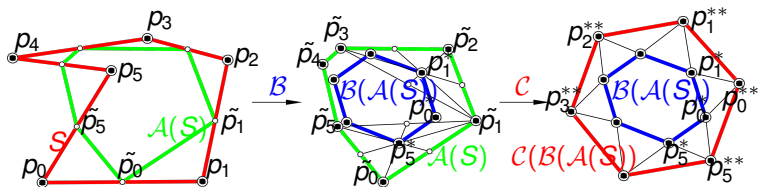
$$u, v, w \in \mathbb{R}, \quad u + v + w = 1$$

(Konstruktionsschritte  $\mathcal{A}$  und  $\mathcal{B}$  - siehe Bild für  $n = 6$ )

- Euklidische Konstruktionsschritte (Ähnlichkeiten):**

$$u, v \in \mathbb{C}, \quad w = 0, \quad u + v = 1$$

(Konstruktionsschritte  $\mathcal{A}$  und  $\mathcal{C}$  - siehe Bild für  $n = 6$ )



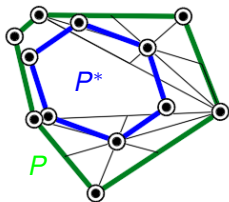
## 4. Die Darstellung der Prozeduren in $\mathbb{C}^n$

- Gegeben:  $n$ -Eck  $P = (p_0, \dots, p_{n-1})^t$
- Prozedur  $\mathcal{A}(u, v, w)$  durch  $u, v, w \in \mathbb{C}$  mit  $u + v + w = 1$
- $\mathcal{A}(u, v, w): P = (p_0, \dots, p_{n-1})^t \rightarrow P^* = (p_0^*, \dots, p_{n-1}^*)^t$  mit

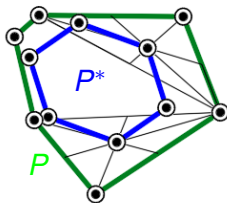
$$p_j^* := u p_j + v p_{j+1} + w p_{j+2}$$

- Beispiel für  $n = 6$ : Schwerpunkte als Neupunkte  $\rightarrow$   
 $u = v = w = 1/3 \rightarrow$

$$p_j^* := (p_j + p_{j+1} + p_{j+2}) / 3$$



$$P^* = \mathcal{A}(1/3, 1/3, 1/3)(P)$$



- Allgemein:  $\mathcal{A}(u, v, w)$  ergibt

$$P = (p_0, \dots, p_{n-1})^t \longrightarrow \mathcal{A}(u, v, w)(P) = P^* = (p_0^*, \dots, p_{n-1}^*)^t \text{ mit}$$

$$p_j^* := u p_j + v p_{j+1} + w p_{j+2}$$

- $\longrightarrow$  Das Neupolygon  $P^* = (p_0^*, \dots, p_{n-1}^*)^t$  ist gegeben durch

$$P^* = M \cdot P$$

mit  $n \times n$ -Matrix  $M \in \mathbb{C}^{n \times n}$

# Die in $\mathbb{C}^n$ induzierte lineare Abbildung $f$

$$p_j^* := u p_j + v p_{j+1} + w p_{j+2} \longrightarrow P^* = M \cdot P \text{ mit}$$

$$M = \begin{pmatrix} u & v & w & 0 & \dots & \dots & \dots & 0 \\ 0 & u & v & w & 0 & \dots & \dots & 0 \\ \vdots & \ddots & \ddots & \ddots & \ddots & \ddots & & \vdots \\ \vdots & & \ddots & \ddots & \ddots & \ddots & \ddots & \vdots \\ 0 & \dots & \dots & 0 & u & v & w & 0 \\ 0 & 0 & \dots & \dots & 0 & u & v & w \\ w & 0 & 0 & \dots & \dots & 0 & u & v \\ v & w & 0 & 0 & \dots & \dots & 0 & u \end{pmatrix} \quad (2)$$

→ Die Konstruktion  $\mathcal{A}(u, v, w): P \longrightarrow P^* = M \cdot P$  induziert im Raum  $\mathbb{C}^n$  der ebenen  $n$ -Ecke eine lineare Abbildung  $f(u, v, w)$ !

## Eigenschaften von $M$ : siehe zB

-  Pavel PECH: The Harmonic Analysis of Polygons and Napoleon's Theorem. *Journal for Geometry and Graphics* **5/1** (2001), 13-22.
-  Gregoire NICOLLIER: Convolution filters for polygons and the Petr-Douglas-Neumann theorem. *Contributions to Algebra and Geometry* **54** (2013), 701 – 708.
- $M$  ist eine sogenannte 'zirkulante' Matrix  $\longrightarrow$
- Die  $n$  Vektoren  $\Pi_j$  ( $j = 0, \dots, n - 1$ ) sind Eigenvektoren von  $f$ :

$$M \cdot \Pi_j = \lambda_j \Pi_j$$

mit zugehörigen Eigenwerten

$$\lambda_j := u \zeta_j^0 + v \zeta_j^1 + w \zeta_j^2 = u + v \zeta_j^1 + w \zeta_j^2$$

- Geometrisch klar:  $\mathcal{A}(u, v, w)$  transformiert reguläre  $n$ -Ecke in reguläre  $n$ -Ecke desselben Typs.

## 5. Regularisierungen - Schritt für Schritt

- Die Vektoren  $\{\Pi_0, \dots, \Pi_{n-1}\}$  bilden eine Basis des  $\mathbb{C}^n \rightarrow$
- Idee:** Stelle die  $n$ -Ecke  $P$  und  $P^*$  des  $\mathbb{C}^n$  in dieser Basis dar:

$$P := \sum_{\nu=0}^n z_{\nu} \Pi_{\nu} \text{ mit Koeffizienten } z_{\nu} \in \mathbb{C}$$

- Von vorher:  $M \cdot \Pi_j = \lambda_j \Pi_j \rightarrow$
- Unsere Prozedur  $\mathcal{A}(u, v, w)$  transformiert  $P$  in  $\mathcal{A}(u, v, w)(P) = P^*$  mit

$$P^* = M \cdot P = M \cdot \left( \sum_{\nu=0}^n z_{\nu} \Pi_{\nu} \right) = \sum_{\nu=0}^n z_{\nu} M \cdot \Pi_{\nu} = \sum_{\nu=0}^n z_{\nu} \lambda_{\nu} \Pi_{\nu}$$

( $u, v, w \in \mathbb{C}$  und  $u + v + w = 1$ ) mit

$$\lambda_{\nu} = u \zeta_{\nu}^0 + v \zeta_{\nu}^1 + w \zeta_{\nu}^2$$

- Damit haben wir in der Basis  $\{\Pi_0, \dots, \Pi_{n-1}\}: \mathcal{A}(u, v, w) : P \longrightarrow P^*$  mit

$$P = (z_0, z_1, \dots, z_{n-1})^t \longrightarrow P^* = (z_0 \lambda_0, z_1 \lambda_1, \dots, z_{n-1} \lambda_{n-1})^t$$

und

$$\lambda_\nu = u + v \zeta_\nu^1 + w \zeta_\nu^2$$

( $\zeta_\nu^0 = 1$  und  $\lambda_0 = 1$ )

- Reguläre  $n$ -Ecke des Typs  $k \in \{1, \dots, n-1\}$  (bzgl der gleichsinnigen Ähnlichkeiten) sind in dieser Basis durch Darstellungen der Art

$$Q = a \Pi_0 + b \Pi_k$$

mit  $a, b \in \mathbb{C}$ ,  $b \neq 0$  erfasst  $\longrightarrow$

- Koordinaten der regulären  $n$ -Ecke des Typs  $k$  in dieser Basis:

$$Q = \left( \begin{array}{ccccccc} a, & 0, & \dots, & 0, & b, & 0, & \dots, & 0 \\ & & & & & & & k \end{array} \right)$$

- Wir hatten  $\mathcal{A}(u, v, w) : P \rightarrow P^*$  mit

$$P = (z_0, z_1, \dots, z_{n-1})^t \rightarrow P^* = (z_0 \lambda_0, z_1 \lambda_1, \dots, z_{n-1} \lambda_{n-1})^t \quad (3)$$

und

$$\lambda_\nu = u + v \zeta_\nu^1 + w \zeta_\nu^2$$

- Reguläre  $n$ -Ecke des Typs  $k$  in dieser Basis:

$$Q = \begin{pmatrix} a, & 0, \dots, & 0, & b, & 0, & \dots, & 0 \\ & & & 0 & & k & & \end{pmatrix}$$

- Regularisierungsidee:** Bestimme  $u, v, w \in \mathbb{R}$  (bzw.  $u, v \in \mathbb{C}$ ) mit  $u + v + w = 1$  (bzw.  $u + v = 1$ ) so, dass in der Koordinatendarstellung von  $P^*$  in (3) einer oder mehrere der Eigenwerte  $\lambda_\nu$  gleich 0 werden!
- Dieses Verfahren ist zu iterieren, bis alle Koordinaten in  $P^*$  bis auf die  $k$ -te Koordinate (und die nullte, die wegen  $\lambda_0 = 1$  fix bleibt) verschwinden!  $\rightarrow$  als Beispiel:
- Der **Euklidische Regularisierungsalgorithmus von I.J. Schoenberg (1950)**

- $P^* = (z_0 \lambda_0, z_1 \lambda_1, \dots, z_{n-1} \lambda_{n-1})^t$  mit  $\lambda_\nu = \mathbf{u} + \mathbf{v} \zeta_\nu^1 + \mathbf{w} \zeta_\nu^2$
- Ermittle  $u_j, v_j \in \mathbb{C}$  mit  $\mathbf{w} = 0$  so, dass für ein  $j \in \{1, \dots, n-1\}$  der Wert  $\lambda_j = 0$  wird, also  $\lambda_j = \mathbf{u}_j + \mathbf{v}_j \zeta_j = 0$  und  $\mathbf{u}_j + \mathbf{v}_j = 1 \rightarrow u_j, v_j \in \mathbb{C}$  wohlbestimmt  $\rightarrow j$ -te Koordinate in  $P^*$  verschwindet!

### Euklidischer Regularisierungsalgorithmus zum Typ $k$ für allgemeine $n$ -Ecke (I. J. Schoenberg 1950)

**Input:** Zieltyp  $k \in \{1, \dots, n-1\}$  und allgemeines  $n$ -Eck  $Q_0$ .

**For**  $j = 1, \dots, n-1$ , aber  $j \neq k$  **Do**

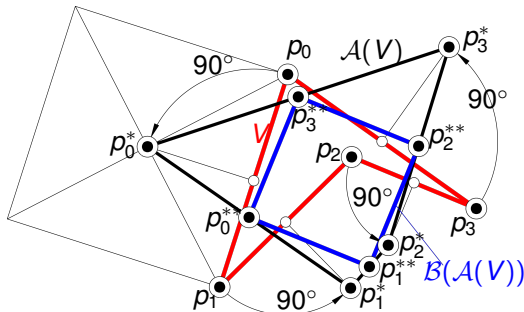
- Bestimme  $u_j, v_j$  als Lösungen der beiden linearen Gleichungen  $\mathbf{u}_j + \mathbf{v}_j \zeta_j = 0$  und  $\mathbf{u}_j + \mathbf{v}_j = 1 \rightarrow u_j = \frac{\sin \beta_j - i \cos \beta_j}{2 \sin \beta_j}$  und  $v_j = \frac{\sin \beta_j + i \cos \beta_j}{2 \sin \beta_j}$  mit  $\beta_j := j \pi / n$ .
- Anwendung von  $\mathcal{A}(u_j, v_j, 0)$  auf das  $n$ -Eck  $Q_{j-1} \rightarrow Q_j$

**Output:** Dann ist das  $n$ -Eck  $Q_{n-2}$  **regulär vom Typ  $k$** .

**Bemerkung:** Multiplikation der Eigenwerte ist kommutativ  $\Rightarrow$  Reihenfolge der Anwendung der Prozeduren kann beliebig vertauscht werden!

## Bemerkungen:

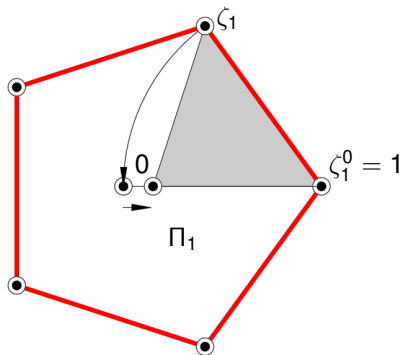
- Regularisierung des Dreiecks:  $n = 3 \Rightarrow$  in einem Schritt möglich:  
 $\rightarrow$  die vorgestellte Regularisierung nach Napoleon
- Regularisierung von Vierecken:  $n = 4 \Rightarrow$  in zwei Schritten möglich: Regularisierung zum Typ  $k = 1$ :



- $j = 3$ :  $\lambda_3 = u_3 - iv_3 = 0 \rightarrow u_3 = \frac{1+i}{2}, v_3 = \frac{1-i}{2}$ : Drehung der Ecke  $p_j$  um Kantenmitte von  $p_j p_{j+1}$  um  $90^\circ$
- $j = 2$ :  $\lambda_2 = u_2 - v_2 = 0$  und  $u_2 + v_2 = 1 \rightarrow u_2 = v_2 = 1/2$ : daher Ermittlung der Kantenmitten des Ausgangsquadrates

## Weitere Bemerkungen:

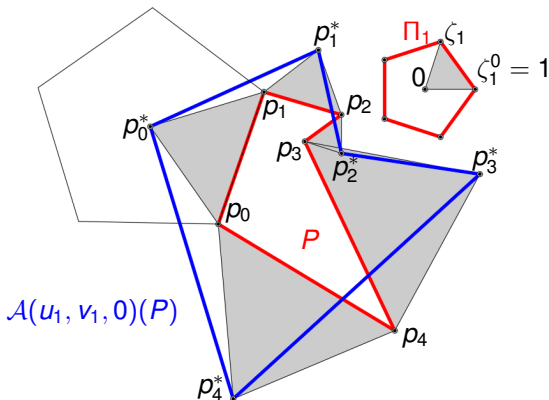
- Im Algorithmus bei Schritt  $j \in \{1, \dots, n-1\}$ , aber  $j \neq k$ : Die Werte von  $u_j, v_j \in \mathbb{C}$  sind Lösungen der zwei linearen Gleichungen  $u_j + v_j \zeta_j = u_j \zeta_j^0 + v_j \zeta_j = 0$  und  $u_j + v_j = 1 \rightarrow$



- Beispiel für  $n = 5$  mit  $j = 1$ :
- Die Drehstreckung mit Zentrum  $\zeta_1^0 = 1$ , die  $\zeta_1$  nach 0 bringt, liefert unsere Prozedur  $\mathcal{A}(u_1, v_1, 0)$
- $\rightarrow \mathcal{A}(u_1, v_1, 0)$  liefert neue Spitze 0 des gleichschenkeligen Dreiecks mit Ecken  $\zeta_1^0 = 1$ ,  $\zeta_1$  und 0 (nebenstehend grau schattiert).
- In diesem Sinn gilt  $\mathcal{A}(u_1, v_1, 0)(\Pi_1) = (0, \dots, 0)^t$  (alle Ecken des Bildfünfecks fallen in 0 zusammen)

**Beispiel:**  $\mathcal{A}(u_1, v_1, 0)$  zu  $n = 5, j = 1: P \rightarrow P^*$  mit Ecken  $p_\nu^*$

- $p_\nu^*$  läßt sich durch Auftragen ähnlicher Fünfecke vom Typ  $j = 1$  auf die Seiten  $p_\nu p_{\nu+1}$  und nachfolgende Ermittlung ihrer Zentren als Neupunkte  $p_\nu^*$  gewinnen!
- Alternativ: Dreiecke ähnlich zum Dreieck mit Ecken  $\zeta_1^0 = 1, \zeta_1, 0$  im regulären Fünfeck des Typs  $j$  auf die Seite  $p_\nu p_{\nu+1}$  aufsetzen (grau schattiert)!



- Achtung auf die Orientierung!
- In der Basis  $\{\Pi_0, \dots, \Pi_4\}$  hat  $\mathcal{A}(u_1, v_1, 0)(P)$  die Koordinaten  $(z_0, 0, z_2^*, z_3^*, z_4^*)^t$ !

Allgemeines  $j$ : Aufsetzen von ähnlichen regulären  $n$ -Ecken des Typs  $j$  auf die Seiten  $p_\nu p_{\nu+1}$  und Ermittlung der Zentren  $\rightarrow$  Neupunkte  $p_\nu^*$   
 $\rightarrow$  **Regularisierung in  $n - 2$  Schritten (I. J. Schoenberg 1950):**

## Euklidischer Regularisierungsalgorithmus zum Typ $k$ für allgemeine $n$ -Ecke - Konstruktion

**Input:** Zieltyp  $k \in \{1, \dots, n - 1\}$  und allgemeines  $n$ -Eck  $Q_0$ .

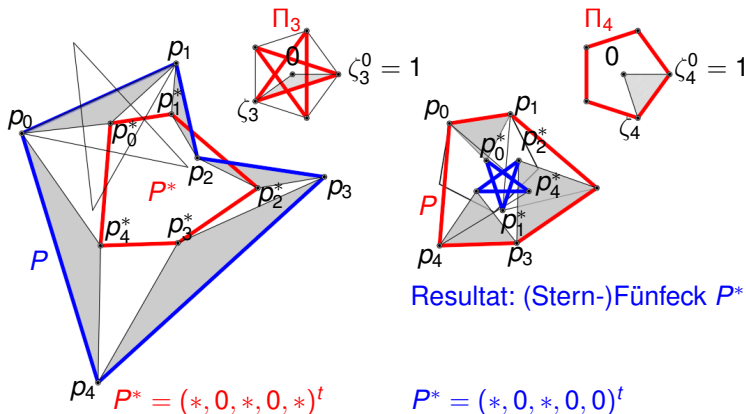
**For**  $j = 1, \dots, n - 1$ , aber  $j \neq k$  **Do**

- Setze reguläre  $n$ -Ecke des Typs  $j$  auf alle Seiten  $p_\nu p_{\nu+1}$  von  $Q_{j-1}$  auf
- $\rightarrow$  Die Zentren dieser 'Aufsatz $n$ -Ecke' sind die Ecken  $p_\nu^*$  des Neupolygons  $Q_j$
- (Alternative: Verwendung von entsprechenden Aufsatzdreiecken und ihren neuen Ecken)

**Output:** Dann ist das  $n$ -Eck  $Q_{n-2}$  **regulär vom Typ  $k$ .**

# 'Unser' Beispiel $n = 5$ , Regularisierung zum Typ $k = 2$ :

- In  $n - 2 = 3$  Schritten möglich (Schritt  $j = 1$  oben bereits erledigt)  $\rightarrow P = (*, 0, *, *, *)^t$
- Schritt  $j = 3$
- Schritt  $j = 4$

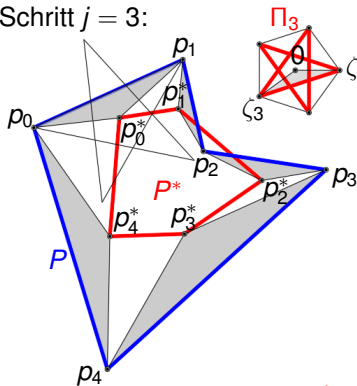


- Das Resultat ist ein reguläres (Stern-)Fünfeck vom Typ  $k = 2$ !

## Variante, Regularisierung zum Typ $k = 4$ :

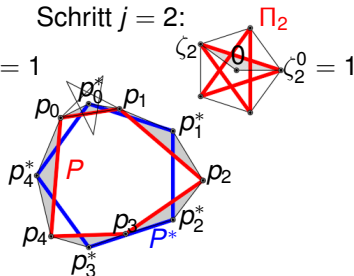
- Schritte  $j = 1$  und  $j = 3$  wie oben, aber nun mit Schritt  $j = 2$ :

Schritt  $j = 3$ :



$$P^* = (*, 0, *, 0, *)^t$$

Schritt  $j = 2$ :



$$P^* = (*, 0, 0, 0, *)^t$$

- Das Resultat ist ein reguläres Fünfeck vom Typ  $k = 4$ !

Zusammenfassung

## 6. Eine affine Verkürzung

- **Ziel:** Versuch, zwei Schritte des obigen Algorithmus in eine affine Konstruktion  $\mathcal{B}(u, v, w)$  zu packen.
- Dazu  $\mathcal{B}(u, v, w): P \rightarrow P^*$  mit  $u, v, w \in \mathbb{C}$  und  $u + v + w = 1 \rightarrow$
- In Basis  $\{\Pi_0, \dots, \Pi_{n-1}\}$ :

$$\begin{aligned}
 P &= (z_0, \dots, z_{n-1})^t \text{ und} \\
 P^* &= (\lambda_0 z_0, \dots, \lambda_\nu z_\nu, \dots, \lambda_{n-1} z_{n-1})^t \text{ mit} \\
 \lambda_\nu &= u \zeta_\nu^0 + v \zeta_\nu^1 + w \zeta_\nu^2
 \end{aligned}$$

- Idee: Ermittle  $u, v, w$  und damit  $\mathcal{B}(u, v, w)$  so, dass **zwei Eigenwerte**  $\lambda_j$  und  $\lambda_j^*$  verschwinden. Falls die zugehörigen linearen Gleichungen für  $u, v, w$  reelle Lösungen besitzen, wäre die zugehörige Prozedur  $\mathcal{A}(u, v, w)$  eine **affine Konstruktion!**
- Es ist  $\bar{\zeta}_j = \zeta_{n-j} \Rightarrow$  Möglichkeit: Die Eigenwerte  $\lambda_j$  und  $\lambda_{n-j}$  könnten in so einer Prozedur gemeinsam zu 0 werden. Da die Bestimmungsgleichungen (neben  $u + v + w = 1$ ) konjugiert komplex sind, müssen die Lösungen reell sein!

- Zu einem  $j \in \{1, \dots, \lfloor n/2 \rfloor\}$  sollen  $\lambda_j$  and  $\lambda_{n-j}$  zu 0 werden → Bedingungen für  $u_j, v_j, w_j$ :

$$\begin{aligned} \lambda_j &= u_j + v_j \zeta_j + w_j \zeta_j^2 = 0 \\ \lambda_{n-j} = \bar{\lambda}_j &= u_j + v_j \bar{\zeta}_j + w_j \bar{\zeta}_j^2 = 0 \\ u_j + v_j + w_j &= 1 \end{aligned} \quad (4)$$

- Die Lösungen dieser 3 linearen Gleichungen liefern für  $j \neq n/2$  eindeutige **reelle Lösungen**  $u_j, v_j, w_j$ , die somit eine **affine Prozedur**  $\mathcal{B}(u_j, v_j, w_j)$  definieren; für die Eigenwerte gilt:  $\lambda_j = \lambda_{n-j} = 0$
- Falls  $n$  gerade ist, kann  $j = n/2$  sein. Dann liefern die 3 linearen Gleichungen (4) eine einparametrische Menge reeller Lösungen  $(u_{n/2}, v_{n/2}, w_{n/2}) = (t, 1/2, 1/2 - t)$  mit einem Parameter  $t \in \mathbb{R}$ .
- In allen anderen Fällen ( $j \neq n/2$ ) sind die reellen Lösungen von (4) eindeutig:

$$u_j = \frac{1}{2 - \zeta_j - \bar{\zeta}_j}, \quad v_j = -\frac{\zeta_j + \bar{\zeta}_j}{2 - \zeta_j - \bar{\zeta}_j}, \quad w_j = \frac{1}{2 - \zeta_j - \bar{\zeta}_j}$$

- Mit so einer Lösung  $u_j, v_j, w_j$  liefert die affine Prozedur  $\mathcal{B}(u_j, v_j, w_j)$ :  $P \rightarrow P^*$  in der Basis  $\{\Pi_0, \dots, \Pi_{n-1}\}$ :  $P = (z_0, \dots, z_n)^t \rightarrow$

$$P^* = (\lambda_0 z_0, \dots, \lambda_{j-1} z_{j-1}, \mathbf{0}, \lambda_{j+1} z_{j+1}, \dots, \lambda_{n-j-1} z_{n-j-1}, \mathbf{0}, \lambda_{n-j+1} z_{n-j+1}, \dots, \lambda_{n-1} z_{n-1})$$

- $\rightarrow$  Damit kann in jedem dieser affinen Schritte (bei  $j \neq n/2$ ) ein Koordinatenpaar in der obigen Darstellung zu 0 gemacht werden  $\rightarrow$
- Mit einer Serie von affinen Prozeduren  $\mathcal{B}(u_j, v_j, w_j)$  können wir in  $\lfloor n/2 \rfloor - 1$  Schritten zu einem Polygon  $P^{**}$  gelangen, das nur an den Stellen  $0, k, n - k$  ( $k \in \{1, \dots, \lfloor n/2 \rfloor\}$ ) Koordinaten  $\neq 0$  besitzt!

$$P^{**} = (a, \underset{k}{0}, \dots, \underset{n-k}{0}, b, 0, \dots, 0, c, 0, \dots, 0)$$

- Und daran schließen wir noch einen der euklidischen Regularisierungsschritte des letzten Abschnittes an  $\rightarrow$  Regularisierung zum Typ  $k$  oder  $n - k$  (bei  $k \in \{1, \dots, \lfloor n/2 \rfloor\}$ ) ist i.A. in  $\lfloor n/2 \rfloor$  Schritten möglich!

→ Das liefert den

## Regularisierungsalgorithmus mit affinen Konstruktionsschritten (O.R. 2020):

### Regularisierungsalgorithmus mit affinen Konstruktionsschritten

Input: Zieltyp  $k \in \{1, \dots, n-1\}$  und allgemeines  $n$ -Eck  $Q_0$ ;  $jj := 0$

**For**  $j = 1, \dots, \lfloor n/2 \rfloor$ , aber  $j \neq k$  und  $j \neq n-k$  **Do**

- Ermittle  $u_j, v_j, w_j$  als Lösung des linearen Systems (4)
- Prozedur  $\mathcal{B}(u_j, v_j, w_j)$  liefert:  $Q_{jj-1} \rightarrow Q_{jj} := \mathcal{B}(u_j, v_j, w_j)(Q_{j-1})$ ; setze  $jj := jj + 1$ .

→  $Q_{\lfloor n/2 \rfloor - 1}$ .

Verwende die euklidische Regularisierung  $A(u_{n-k}, v_{n-k}, 0)$  aus dem euklidischen Algorithmus →  $Q_{\lfloor n/2 \rfloor}$

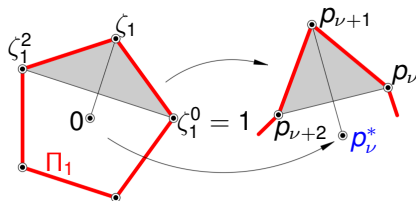
Das  $n$ -Eck  $Q_{\lfloor n/2 \rfloor}$  ist **reguläres  $n$ -Eck vom Typ  $k$** .

- **Bemerkung:** Und wieder ändert Permutation der verschiedenen Schritte nichts am Resultat!

## Weitere Bemerkungen:

- Verkürzung der Schrittzahl gegenüber I.J. Schoenberg und P. Pech.
- Geometrische Deutung von  $\mathcal{B}(u_j, v_j, w_j)$ ; Bedingungen für die reellen  $u_j, v_j, w_j$ :

$$\begin{aligned} \lambda_j &= u_j + v_j \zeta_j + w_j \zeta_j^2 = 0 \\ u_j + v_j + w_j &= 1 \end{aligned}$$

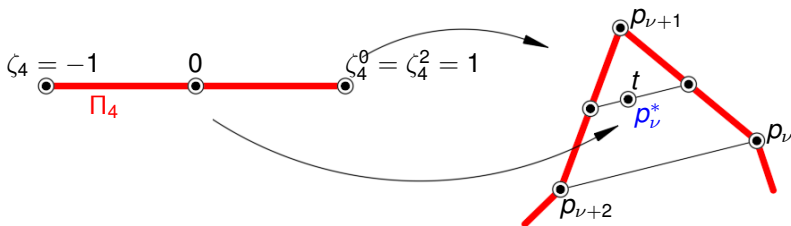


Beispiel  $n = 5, j = 1$

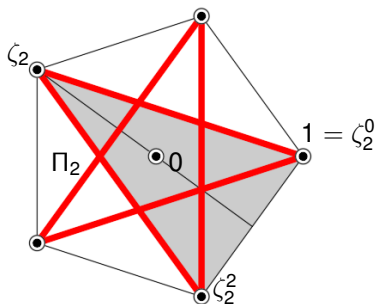
- Die reellen  $u_j, v_j, w_j$  stellen genau die **Affinkombinationen** des Punktes 0 bezüglich der Ecken  $\zeta_j^0 = 1, \zeta_j$  und  $\zeta_j^2$  des regulären  $n$ -Ecks vom Typ  $j$  dar.
- $\mathcal{B}(u_j, v_j, w_j)$  weist den drei Punkten  $\rho_\nu, \rho_{\nu+1}, \rho_{\nu+2}$  das Bild  $\rho_\nu^*$  von 0 bei jener Affinität zu, die die drei Punkte  $\zeta_j^0 = 1, \zeta_j$  und  $\zeta_j^2$  von  $\Pi_j$  in  $\rho_\nu, \rho_{\nu+1}$  und  $\rho_{\nu+2}$  abbildet

- Ausnahme:  $j = n/2$  bei geradem  $n$ : Dann gibt es einen freien Parameter  $t \in \mathbb{R}$  für  $u_{n/2} = t, v_{n/2} = 1/2, w_{n/2} = 1/2 - t$ . Aber auch hier gilt: Beschreibt Affinkombination des Zentrums 0 von  $\Pi_{n/2}$  bezüglich der drei Punkte 1,  $-1$  and 1 (von denen zwei zusammenfallen).
- Daher oft Verwendung von  $t = 1/2$  und damit  $u_{n/2} = 1/2, v_{n/2} = 1/2, w_{n/2} = 0 \rightarrow$  Neupunkte als Kantenmitten.

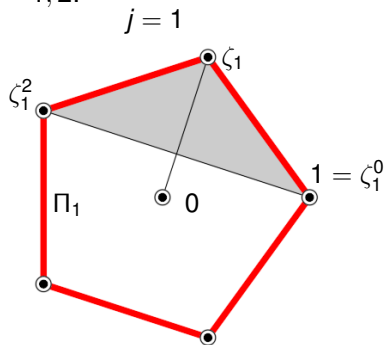
Beispiel  $n = 8, j = 4 : \zeta_4 = -1$



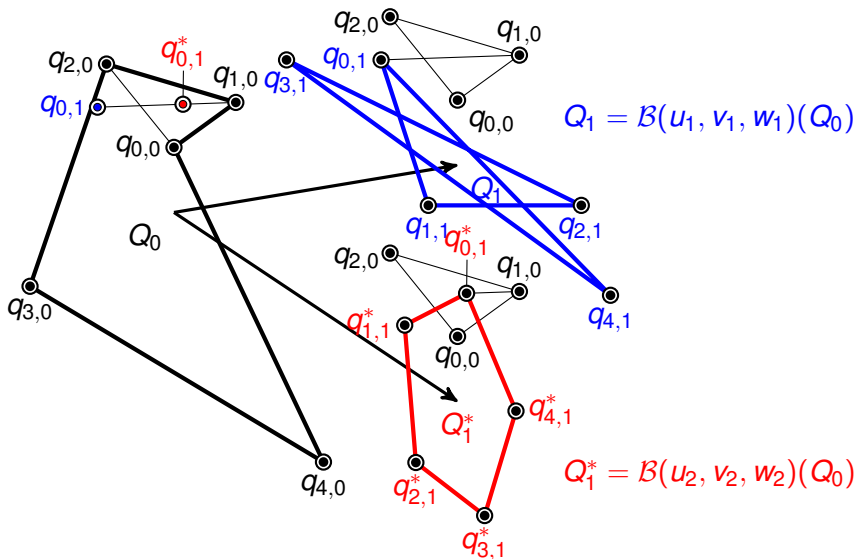
- Beispiel  $n = 5$  : Wir haben  $\lfloor n/2 \rfloor - 1 = 1 \Rightarrow$  Eine affine Prozedur gefolgt von einer euklidischen reichen zur Regularisierung!
- Die affinen Teile  $B(u, v, w)$  für  $j = 1, 2$ :



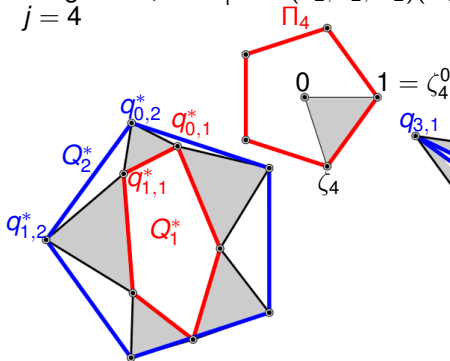
$$u_2 = w_2 \approx 0.276393, v_2 \approx 0.447214 \\ \longrightarrow B(u_2, v_2, w_2)$$



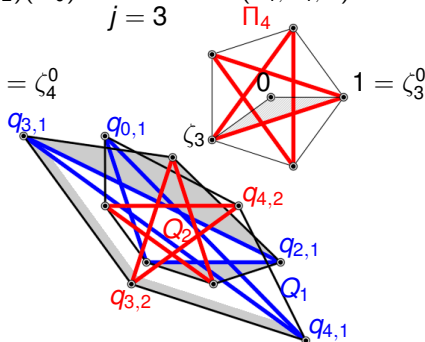
$$u_1 = w_1 \approx 0.723607, v_1 \approx -0.447214 \\ \longrightarrow B(u_1, v_1, w_1)$$



- Und nun muss noch der euklidische Regularisierungsschritt durchgeführt werden!
- Zu  $Q_1 = \mathcal{B}(u_1, v_1, w_1)(Q_0)$  werden wir den Schritt  $\mathcal{A}(u_3, v_3, 0)$  ergänzen, zu  $Q_1^* = \mathcal{B}(u_2, v_2, w_2)(Q_0)$  den Schritt  $\mathcal{A}(u_4, v_4, 0)$ :

 $j = 4$ 

$$Q_2^* = \mathcal{A}(u_4, v_4, 0)(Q_1^*)$$

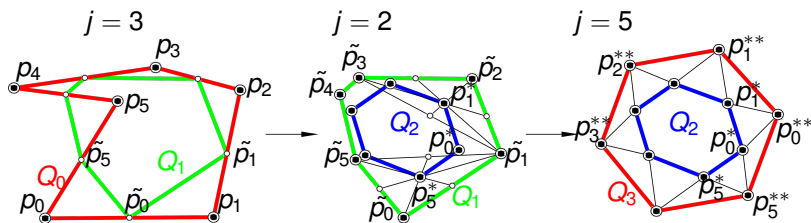
 $j = 3$ 

$$Q_2 = \mathcal{A}(u_3, v_3, 0)(Q_1)$$

- Die Fünfecke  $Q_2^*$  und  $Q_2$  sind regulär vom Typ 1 bzw. 2.

## 7. Zusammenfassung

- Regularisierung von  $n$ -Ecken mittels verschiedener Konstruktionsvorschriften
- Geometrische Konstruktionen  $\longleftrightarrow$  lineare Algebra
- Algorithmen und Beispiele (unten  $n = 8$ )

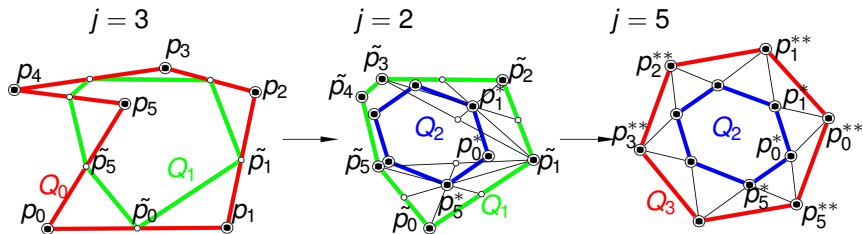


$$Q_1 = \mathcal{B}(1/2, 1/2, 0)(Q_0) \quad Q_2 = \mathcal{B}(1/3, 1/3, 1/3)(Q_1) \quad Q_3 = \mathcal{A}(u_5, v_5, 0)(Q_2)$$

$$u_5 = \frac{1-i\sqrt{3}}{2}, \quad v_5 = \frac{1+i\sqrt{3}}{2}$$

## 7. Zusammenfassung

- Regularisierung von  $n$ -Ecken mittels verschiedener Konstruktionsvorschriften
- Geometrische Konstruktionen  $\longleftrightarrow$  lineare Algebra
- Algorithmen und Beispiele (unten  $n = 6$ )



$$Q_1 = \mathcal{B}(1/2, 1/2, 0)(Q_0) \quad Q_2 = \mathcal{B}(1/3, 1/3, 1/3)(Q_1) \quad Q_3 = \mathcal{A}(u_5, v_5, 0)(Q_2)$$

$$u_5 = \frac{1-i\sqrt{3}}{2}, \quad v_5 = \frac{1+i\sqrt{3}}{2}$$

Vielen Dank für Ihre Aufmerksamkeit!